

Starkniederschlagshöhen und -spenden gemäß KOSTRA-DWD-2020

Rasterfeld 161097

(Zeile 161, Spalte 97)

Regenspende und Bemessungsniederschlagswerte in Abhängigkeit von Wiederkehrzeit T und Dauerstufe D

| Dauerstufe D | | Wiederkehrzeit T | | | | | | | | | | | | | | | | | |
|--------------|-----|------------------|------------|------|------------|------|------------|-------|------------|-------|------------|-------|------------|-------|------------|-------|------------|-------|------------|
| | | 1 a | | 2 a | | 3 a | | 5 a | | 10 a | | 20 a | | 30 a | | 50 a | | 100 a | |
| min | Std | mm | l / (s ha) | mm | l / (s ha) | mm | l / (s ha) | mm | l / (s ha) | mm | l / (s ha) | mm | l / (s ha) | mm | l / (s ha) | mm | l / (s ha) | mm | l / (s ha) |
| 5 | | 7,0 | 233,3 | 8,4 | 280,0 | 9,3 | 310,0 | 10,5 | 350,0 | 12,2 | 406,7 | 14,0 | 466,7 | 15,2 | 506,7 | 16,7 | 556,7 | 18,8 | 626,7 |
| 10 | | 8,7 | 145,0 | 10,5 | 175,0 | 11,7 | 195,0 | 13,2 | 220,0 | 15,3 | 255,0 | 17,5 | 291,7 | 19,0 | 316,7 | 20,9 | 348,3 | 23,6 | 393,3 |
| 15 | | 9,9 | 110,0 | 12,0 | 133,3 | 13,2 | 146,7 | 14,9 | 165,6 | 17,4 | 193,3 | 19,9 | 221,1 | 21,5 | 238,9 | 23,7 | 263,3 | 26,8 | 297,8 |
| 20 | | 10,8 | 90,0 | 13,1 | 109,2 | 14,5 | 120,8 | 16,3 | 135,8 | 19,0 | 158,3 | 21,7 | 180,8 | 23,5 | 195,8 | 25,9 | 215,8 | 29,3 | 244,2 |
| 30 | | 12,2 | 67,8 | 14,8 | 82,2 | 16,3 | 90,6 | 18,4 | 102,2 | 21,4 | 118,9 | 24,6 | 136,7 | 26,6 | 147,8 | 29,2 | 162,2 | 33,1 | 183,9 |
| 45 | | 13,8 | 51,1 | 16,7 | 61,9 | 18,5 | 68,5 | 20,8 | 77,0 | 24,2 | 89,6 | 27,7 | 102,6 | 30,0 | 111,1 | 33,0 | 122,2 | 37,3 | 138,1 |
| 60 | 1 | 15,0 | 41,7 | 18,1 | 50,3 | 20,1 | 55,8 | 22,7 | 63,1 | 26,4 | 73,3 | 30,2 | 83,9 | 32,7 | 90,8 | 35,9 | 99,7 | 40,6 | 112,8 |
| 90 | 1,5 | 16,9 | 31,3 | 20,4 | 37,8 | 22,7 | 42,0 | 25,5 | 47,2 | 29,7 | 55,0 | 34,0 | 63,0 | 36,8 | 68,1 | 40,5 | 75,0 | 45,8 | 84,8 |
| 120 | 2 | 18,4 | 25,6 | 22,3 | 31,0 | 24,7 | 34,3 | 27,8 | 38,6 | 32,3 | 44,9 | 37,0 | 51,4 | 40,1 | 55,7 | 44,1 | 61,3 | 49,9 | 69,3 |
| 180 | 3 | 20,7 | 19,2 | 25,1 | 23,2 | 27,8 | 25,7 | 31,3 | 29,0 | 36,4 | 33,7 | 41,7 | 38,6 | 45,2 | 41,9 | 49,7 | 46,0 | 56,2 | 52,0 |
| 240 | 4 | 22,5 | 15,6 | 27,3 | 19,0 | 30,2 | 21,0 | 34,1 | 23,7 | 39,6 | 27,5 | 45,4 | 31,5 | 49,1 | 34,1 | 54,0 | 37,5 | 61,1 | 42,4 |
| 360 | 6 | 25,4 | 11,8 | 30,7 | 14,2 | 34,0 | 15,7 | 38,4 | 17,8 | 44,6 | 20,6 | 51,1 | 23,7 | 55,3 | 25,6 | 60,9 | 28,2 | 68,8 | 31,9 |
| 540 | 9 | 28,6 | 8,8 | 34,6 | 10,7 | 38,3 | 11,8 | 43,2 | 13,3 | 50,2 | 15,5 | 57,5 | 17,7 | 62,3 | 19,2 | 68,5 | 21,1 | 77,5 | 23,9 |
| 720 | 12 | 31,1 | 7,2 | 37,6 | 8,7 | 41,7 | 9,7 | 47,0 | 10,9 | 54,7 | 12,7 | 62,6 | 14,5 | 67,7 | 15,7 | 74,5 | 17,2 | 84,2 | 19,5 |
| 1080 | 18 | 35,0 | 5,4 | 42,3 | 6,5 | 46,9 | 7,2 | 52,9 | 8,2 | 61,5 | 9,5 | 70,4 | 10,9 | 76,3 | 11,8 | 83,9 | 12,9 | 94,8 | 14,6 |
| 1440 | 24 | 38,0 | 4,4 | 46,1 | 5,3 | 51,0 | 5,9 | 57,5 | 6,7 | 66,9 | 7,7 | 76,6 | 8,9 | 82,9 | 9,6 | 91,3 | 10,6 | 103,2 | 11,9 |
| 2880 | 48 | 46,6 | 2,7 | 56,4 | 3,3 | 62,5 | 3,6 | 70,4 | 4,1 | 81,9 | 4,7 | 93,8 | 5,4 | 101,6 | 5,9 | 111,7 | 6,5 | 126,3 | 7,3 |
| 4320 | 72 | 52,4 | 2,0 | 63,5 | 2,4 | 70,3 | 2,7 | 79,3 | 3,1 | 92,2 | 3,6 | 105,6 | 4,1 | 114,3 | 4,4 | 125,8 | 4,9 | 142,2 | 5,5 |
| 5760 | 96 | 57,0 | 1,6 | 69,0 | 2,0 | 76,5 | 2,2 | 86,2 | 2,5 | 100,3 | 2,9 | 114,8 | 3,3 | 124,3 | 3,6 | 136,8 | 4,0 | 154,6 | 4,5 |
| 7200 | 120 | 60,9 | 1,4 | 73,7 | 1,7 | 81,6 | 1,9 | 92,1 | 2,1 | 107,1 | 2,5 | 122,6 | 2,8 | 132,7 | 3,1 | 146,0 | 3,4 | 165,1 | 3,8 |
| 8640 | 144 | 64,2 | 1,2 | 77,7 | 1,5 | 86,1 | 1,7 | 97,1 | 1,9 | 112,9 | 2,2 | 129,3 | 2,5 | 140,0 | 2,7 | 154,0 | 3,0 | 174,1 | 3,4 |
| 10080 | 168 | 67,1 | 1,1 | 81,3 | 1,3 | 90,0 | 1,5 | 101,6 | 1,7 | 118,1 | 2,0 | 135,2 | 2,2 | 146,4 | 2,4 | 161,1 | 2,7 | 182,1 | 3,0 |

Starkniederschlagshöhen und -spenden gemäß KOSTRA-DWD-2020

Rasterfeld 161097

(Zeile 161, Spalte 97)

Örtliche Unsicherheiten in Abhängigkeit von Wiederkehrzeit T und Dauerstufe D

| Dauerstufe D | | Wiederkehrzeit T | | | | | | | | |
|--------------|-----|------------------|-----|-----|-----|------|------|------|------|-------|
| | | 1 a | 2 a | 3 a | 5 a | 10 a | 20 a | 30 a | 50 a | 100 a |
| min | Std | ± % | ± % | ± % | ± % | ± % | ± % | ± % | ± % | ± % |
| 5 | | 15 | 16 | 17 | 18 | 19 | 19 | 20 | 20 | 21 |
| 10 | | 18 | 19 | 20 | 21 | 22 | 23 | 23 | 24 | 24 |
| 15 | | 19 | 20 | 21 | 22 | 23 | 24 | 25 | 25 | 26 |
| 20 | | 19 | 21 | 22 | 23 | 24 | 25 | 25 | 26 | 26 |
| 30 | | 19 | 21 | 22 | 23 | 24 | 25 | 25 | 26 | 26 |
| 45 | | 18 | 20 | 21 | 22 | 23 | 24 | 25 | 25 | 26 |
| 60 | 1 | 18 | 20 | 21 | 22 | 23 | 24 | 24 | 25 | 25 |
| 90 | 1,5 | 16 | 18 | 19 | 20 | 22 | 23 | 23 | 23 | 24 |
| 120 | 2 | 15 | 18 | 18 | 19 | 21 | 22 | 22 | 23 | 23 |
| 180 | 3 | 14 | 16 | 17 | 18 | 19 | 20 | 21 | 21 | 22 |
| 240 | 4 | 13 | 15 | 16 | 17 | 18 | 19 | 19 | 20 | 21 |
| 360 | 6 | 12 | 14 | 15 | 16 | 17 | 18 | 18 | 19 | 19 |
| 540 | 9 | 11 | 13 | 13 | 14 | 15 | 16 | 17 | 17 | 18 |
| 720 | 12 | 11 | 12 | 13 | 14 | 14 | 15 | 16 | 16 | 17 |
| 1080 | 18 | 10 | 11 | 12 | 13 | 14 | 14 | 15 | 15 | 16 |
| 1440 | 24 | 10 | 11 | 12 | 12 | 13 | 14 | 14 | 14 | 15 |
| 2880 | 48 | 12 | 12 | 12 | 12 | 12 | 13 | 13 | 13 | 14 |
| 4320 | 72 | 13 | 13 | 13 | 13 | 13 | 13 | 13 | 13 | 14 |
| 5760 | 96 | 14 | 13 | 13 | 13 | 13 | 14 | 14 | 14 | 14 |
| 7200 | 120 | 15 | 14 | 14 | 14 | 14 | 14 | 14 | 14 | 14 |
| 8640 | 144 | 16 | 15 | 15 | 15 | 14 | 14 | 15 | 15 | 15 |
| 10080 | 168 | 17 | 16 | 15 | 15 | 15 | 15 | 15 | 15 | 15 |

Parameter für abweichende T und D

Lokationsparameter ξ (Xi)

15,05536494

Skalenparameter α (Alpha)

4,40782466

Formparameter κ (Kappa)

-0,1

1. Koutsoyiannis-Parameter θ (Theta)

0,00569998

2. Koutsoyiannis-Parameter η (Eta)

0,70807805

Parameter für dauerstufenübergreifende Extremwertschätzung nach KOUTSOYIANNIS et al. 1998.

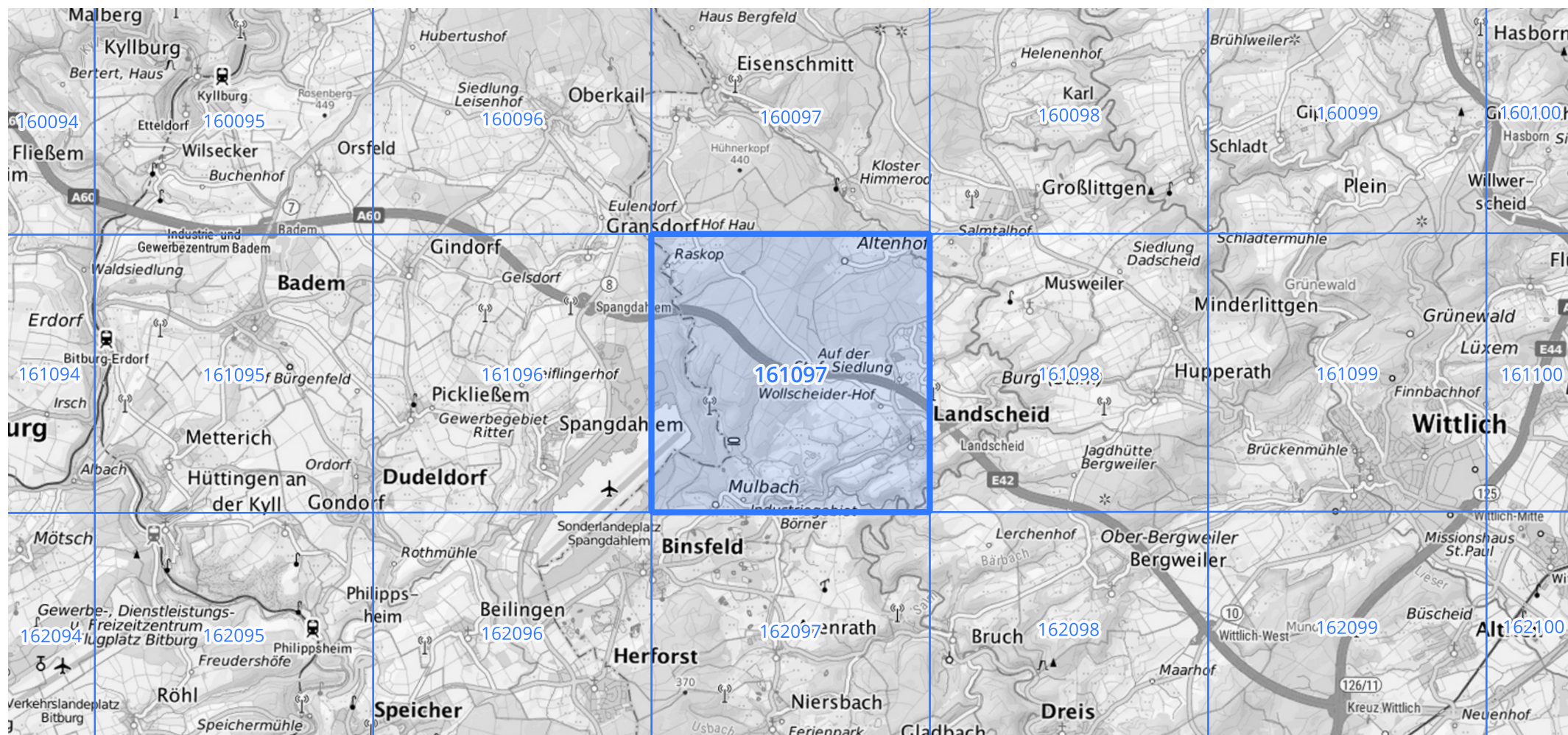
Siehe auch Anwendungshilfe zu KOSTRA-DWD-2020 des Deutschen Wetterdienstes.

Starkniederschlagshöhen und -spenden gemäß KOSTRA-DWD-2020

Rasterfeld 161097

(Zeile 161, Spalte 97)

Übersichtskarte des Rasterfeldes 161097, M 1 : 100 000



Quelle Rasterdaten: KOSTRA-DWD-2020 des Deutschen Wetterdienstes, Stand 12/2022.

Seite 3 von 3

Kartendarstellung: © Bundesamt für Kartographie und Geodäsie (2023), Datenquellen: https://sgx.geodatenzentrum.de/web_public/gdz/datenquellen/Datenquellen_TopPlusOpen.html

Für die Richtigkeit und Aktualität der Angaben wird keine Gewähr übernommen. Erstellt 01/2023.